

О ПРЕОБРАЗОВАНИЯХ ДАРБУ В ОБРАТНОЙ ЗАДАЧЕ РАССЕЯНИЯ

М.Ш. БАДАХОВ, А.Б. ШАБАТ

Аннотация. Преобразования Дарбу играют, как известно, важную роль в приложениях МОЗР. В данной работе излагается теория таких преобразований для операторов Шредингера с потенциалами, имеющими компактный носитель, но не обязательно гладкими. Исследован новый класс преобразований, связанный с нулями коэффициента отражения, расположенными в сопряжённых точках комплексной плоскости.

Ключевые слова: обратная задача рассеяния, Оператор Шредингера, финитные потенциалы, преобразования Дарбу.

Mathematics Subject Classification: 34L25, 35J10, 37K15

1. ФИНИТНЫЕ ПОТЕНЦИАЛЫ

Проблема расширения семейства точно решаемых потенциалов в обратной задаче рассеяния для уравнения Шредингера постоянно привлекает внимание специалистов. Один из классов потенциалов, для которых обратная задача может быть решена полностью, образует потенциалы Баргмана (безотражательные потенциалы, [6]). Однако при решении обратной задачи в классе потенциалов Баргмана отсутствует характерная особенность спектральных данных, связанная с краем непрерывного спектра, что, в частности, не позволяет существенно расширить этот класс путём предельного перехода. Другой класс потенциалов, допускающий конструктивное решение, составляют дельтаобразные потенциалы [2], и мы рассматриваем здесь расширение этого класса при помощи специальных преобразований Дарбу, сохраняющих финитность носителей потенциалов.

Для решений уравнения Шредингера

$$L\psi = \lambda\psi, \quad L = q(x) - D_x^2, \quad (1)$$

преобразование Дарбу вводится следующей «хорошо известной» формулой:

$$\begin{pmatrix} \hat{\psi} \\ \hat{\psi}_x \end{pmatrix} = \begin{pmatrix} f & -1 \\ -f^2 + \lambda - \lambda_0 & f \end{pmatrix} \begin{pmatrix} \psi \\ \psi_x \end{pmatrix}, \quad f_x + f^2 = q(x) - \lambda_0,$$

из которой находим, что

$$\begin{aligned} \hat{\psi} &= (f - D)\psi, & \hat{L}\hat{\psi} &= \lambda\hat{\psi}, & \hat{L} &= \hat{q}(x) - D^2, & \hat{q}(x) &= q(x) - 2f_x, \\ & & & & & & & (f + \frac{\hat{\psi}'}{\hat{\psi}})(f - \frac{\psi'}{\psi}) = \lambda - \lambda_0. \end{aligned} \quad (2)$$

Выбор функции $f(x)$, удовлетворяющей уравнению Риккати, в этих формулах определяется в данной работе условием финитности носителей исходного и преобразованного

M.Sh. BADAHOV, A.B. SHABAT, DARBOUX TRANSFORMATIONS IN THE INVERSE SCATTERING PROBLEM.

© Бадахов М.Ш., Шабат А.Б. 2016.

Исследование выполнено за счет гранта Российского научного фонда (проект №15-11-20007).

Поступила 27 августа 2016 г.

потенциалов. В силу формул (2) это означает, что функция $f(x)$ является постоянной как при $x \sim -\infty$, так и при $x \sim +\infty$. Как правило, можно считать, что

$$\lambda_0 = -k_0^2 < 0, \quad f(x) = \frac{\psi_x}{\psi}(x, k_0) = \begin{cases} k_0, & x \sim -\infty \\ -k_0, & x \sim \infty \end{cases}. \quad (3)$$

Это соответствует выбору в качестве f , логарифмической производной от функции Йоста $\psi(x, k)$, которая определяется как решение интегрального уравнения:

$$\psi(x, k) = \phi(x, k)e^{kx}, \quad \phi(x, k) = 1 + \int_{-\infty}^x R(x-s, k)\phi(s, k)q(s)ds, \quad (4)$$

с ядром R , удовлетворяющим в правой полуплоскости K_+ :

$$K_+ = \{k \in \mathbb{C}, \operatorname{Re} k \geq 0\}, \quad (5)$$

оценке

$$R(x', k) = \frac{1 - e^{-2kx'}}{2k}\theta(x') \Rightarrow |R(x', k)| \leq \int_{-x'}^0 |e^{2ks}|ds \leq x', \quad \operatorname{Re} k \geq 0. \quad (6)$$

Левее носителя потенциала функция Йоста $\psi(x, k) = e^{kx}$, а правее

$$\psi(x, k) = a(k)e^{kx} + b(k)e^{-kx}, \quad x \sim +\infty. \quad (7)$$

Функции $a(k)$ и $b(k)$ имеют полюс первого порядка в точке $k = 0$, но их линейная комбинация $a(k) + b(k)$ регулярна в этой точке.

В интересующем нас случае функция q является линейной комбинацией δ -функций. Такие функции мы называем δ -образными. Выбрав $\phi \equiv 1$ в качестве нулевого приближения и применив метод итераций к скалярному интегральному уравнению (4), можно проверить, что для уравнения Шрёдингера с δ -образным потенциалом вида

$$q(x) = \sum_{j=1}^N \gamma_j \delta(x - x_j) \quad (8)$$

метод итераций даёт точное решение уже на N -ом шагу. Непрерывное при всех x построенное решение уравнения Шрёдингера (1) с потенциалом (8) удовлетворяет в узлах x_j , $j \in [N]$, условиям согласования левых и правых производных.

Случай (3) соответствует специальному выбору параметра $k_0 > 0$, отвечающему отрицательному собственному значению $\lambda = \lambda_0 < 0$ исходного оператора $L = q(x) - D^2$, причём

$$a(k_0) = 0, \quad \psi(x, k_0) \rightarrow 0, \quad x \rightarrow \pm\infty. \quad (9)$$

Если собственное значение $\lambda_0 < 0$ минимально, то функция Йоста (9) нулей не имеет и у её логарифмической производной отсутствуют полюса. Используя (3), мы находим, что в этом случае для преобразованной функции Йоста

$$\hat{\psi}(x, k) = \frac{f\psi - \psi_x}{k_0 - k} = \hat{a}(k)e^{kx} + \hat{b}(k)e^{-kx}, \quad x \sim \infty; \quad \hat{a}(k) = a(k)\frac{k + k_0}{k - k_0}, \quad \hat{b}(k) = -b(k). \quad (10)$$

Отметим, что в случае вещественных потенциалов $q(x)$, $x \in \mathbb{R}$ на вертикальной оси $k = i\xi$, $\xi \in \mathbb{R}$ должны выполняться следующие условия «вещественности»:

$$a(-k) = \bar{a}(k), \quad b(-k) = \bar{b}(k), \quad |a(k)|^2 = 1 + |b(k)|^2 > 0, \quad k = i\xi, \quad \xi \in \mathbb{R}, \quad (11)$$

где черта обозначает комплексное сопряжение. Для произвольных финитных потенциалов уравнение, связывающее целые функции экспоненциального типа $2ka(k)$ и $2kb(k)$, записывается в виде

$$a(k)a(-k) - b(k)b(-k) = 1. \quad (12)$$

Для чётных потенциалов уравнение упрощается и его можно переписать следующим образом:

$$q(-x) = q(x) \Rightarrow b(-k) = -b(k), \quad a(k)a(-k) = (1 - b(k))(1 + b(k)). \quad (13)$$

При использовании нулей второго коэффициента $b(k_1) = 0$ формула (2) даёт:

$$f(x) = \frac{\psi_x}{\psi}(x, k_1) = \begin{cases} k_1, & x \sim -\infty \\ k_1, & x \sim \infty \end{cases} \Rightarrow \tilde{a}(k) = a(k), \quad \tilde{b}(k) = b(k) \frac{k_1 + k}{k_1 - k}.$$

Однако корни функции $b(k)$ являются комплексными числами и нужно делать дополнительное преобразование, чтобы восстановить вещественность потенциала. В результате такого двойного преобразования мы получаем

$$\hat{a}(k) = a(k), \quad \hat{b}(k) = b(k) \frac{k_1 + k}{k_1 - k} \times \frac{k_2 + k}{k_2 - k}, \quad k_2 = \bar{k}_1. \quad (14)$$

Особый интерес представляет случай, когда все нули $b(k)$ располагаются на вертикальной оси. В этом случае $k_2 = -k_1$ и формула (14) приводит к неожиданному результату:

$$b(k) = 0, \quad k = k_{1,2} = \pm i\xi, \quad \xi \in \mathbb{R} \Rightarrow \hat{a} = a, \quad \hat{b} = b. \quad (15)$$

Напомним, в случае «гладких» потенциалов обратная задача рассеяния сводится обычно к паре интегральных уравнений

$$\psi(x, k) = e^{kx} + \int_{-\infty}^x K(x, y) e^{ky} dy, \quad \operatorname{Re} k \geq 0, \quad (16)$$

$$K(x, y) + F(x + y) + \int_{-\infty}^x K(x, s) F(s + y) ds = 0, \quad y < x. \quad (17)$$

Первое из них определяет, используя преобразование Фурье функции Йоста (4), ядро $K(x, y)$, $y < x$ как функцию от y при фиксированном x . Второе из этих соотношений «уравнение Гельфанда-Левитана-Марченко» используется для восстановления функции $K(x, y)$, $y < x$ как решения интегрального уравнения Винера-Хопфа на полуоси $-\infty < y \leq x$ с заданным ядром $F = F(x + y)$, стремящимся к нулю при $X = x + y \rightarrow -\infty$. Преобразование Фурье функции $F(X)$ выражается через значения b/a на вертикальной оси $k = i\xi$. На рис. 1 показан график модуля такой функции, когда все нули целой функции $2kb(k)$ расположены на мнимой оси. Для построения примеров неоднозначной разрешимости уравнения (17), как будет показано ниже, можно использовать пару сопряжённых друг другу нулей (15) целой функции $2kb(k)$, расположенных на мнимой оси. Отметив, что пара сопряжённых друг другу нулей $k = i\xi$ отвечает одному и тому же значению $\lambda = -k^2$, мы показываем (см. Пример 2 в конце работы), что в этом случае преобразование Дарбу приводит к новому потенциалу с носителем на полуоси $[x_1, \infty)$, но с той же функцией $F(x)$.

2. НУЛИ КОЭФФИЦИЕНТА ОТРАЖЕНИЯ

После преобразования Дарбу (10) коэффициент $\hat{a}(k)$ не имеет нуля в точке $k = k_0$ и можно таким образом избавиться в обратной задаче от дискретного спектра оператора Шредингера (1). Напомним, что число этих собственных значений совпадает с числом перемен знака графика предельной $k \rightarrow 0$ функции Йоста $\psi(x, 0)$. В случае (8) этот график представляет собой ломаную (см. рис. 2) с узлами в точках узлах x_j , играющую определяющую роль в спектральных свойствах дельтаобразных потенциалов [1].

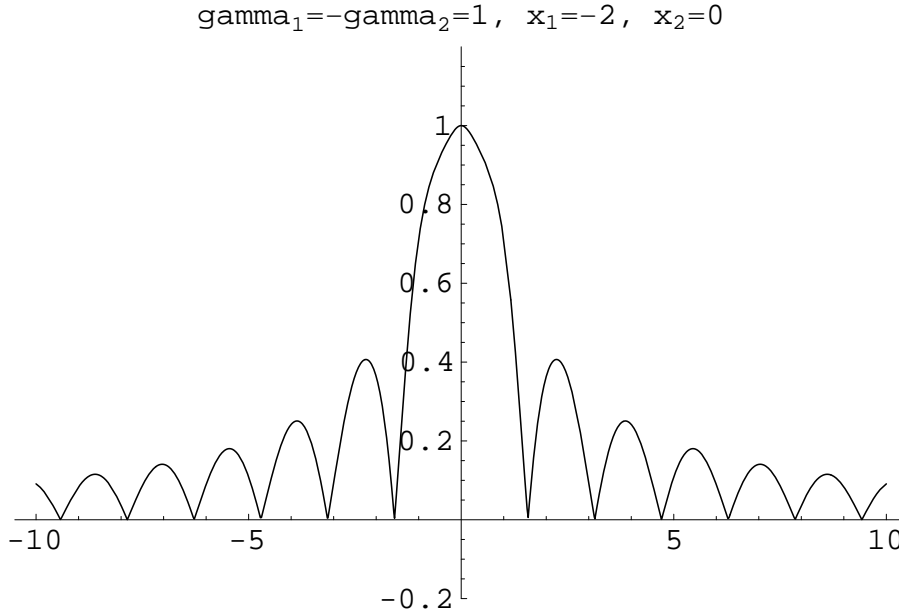


РИС. 1. График $|\frac{b}{a}|(k)$ на мнимой оси.

Напомним теперь для полноты картины известные формулы, связанные с кусочно-постоянным потенциалом q_ε в виде прямоугольной ямы, который в пределе $\varepsilon \rightarrow 0$ переходит в дельта-функцию с коэффициентом γ :

$$q(x) = q_\varepsilon(x) = \frac{\gamma}{\varepsilon} = -h, \quad x \in [-\varepsilon, 0] \stackrel{\text{def}}{=} I_\varepsilon.$$

Функция Йоста $\psi_\varepsilon(x, k)$ и её производная определяются внутри I_ε следующей формулой:

$$\begin{aligned} e^{k\varepsilon}\psi(x, k) &= \operatorname{ch} z(x + \varepsilon) + \frac{k}{z} \operatorname{sh} z(x + \varepsilon), \quad -\varepsilon \leq x \leq 0, \\ e^{k\varepsilon}\psi_x(x, k) &= k \operatorname{ch} z(x + \varepsilon) + z \operatorname{sh} z(x + \varepsilon), \quad z^2 = k^2 - h. \end{aligned}$$

В частности при $k = 0$ ($z = i\sqrt{h}$) мы имеем

$$\psi \Big|_{k=0} = \begin{cases} \cos(x + \varepsilon)\sqrt{h}, & -\varepsilon \leq x \leq 0, \\ \cos(\varepsilon\sqrt{h}) - x\sqrt{h} \sin(\varepsilon\sqrt{h}), & x > 0, \end{cases}$$

что, как уже отмечалось, позволяет определить, число собственных значений в зависимости от величины ε . С другой стороны, эти собственные значения определяются нулями в правой полуплоскости (5) целой функции $2ka(k)$, где:

$$a(k)e^{k\varepsilon} = \operatorname{ch} z\varepsilon + \frac{1}{2} \left(\frac{k}{z} + \frac{z}{k} \right) \operatorname{sh}(z\varepsilon), \quad b(k)e^{k\varepsilon} = \frac{1}{2} \left(\frac{k}{z} - \frac{z}{k} \right) \operatorname{sh}(z\varepsilon).$$

В качестве приближенного решения ϕ интегрального уравнения (4) можно использовать первую итерацию

$$\phi(x, k) \approx 1 + \int_{-\infty}^x R(x - x', k)q(x')dx' = \begin{cases} \frac{\gamma_1}{\varepsilon} \int_{-\varepsilon}^x R(x - x', k)dx', & x \in [-\varepsilon, 0] \\ \gamma_1 R(x + \varepsilon, k), & x \geq -\varepsilon \end{cases}.$$

Верхняя строка здесь соответствует «яме», а нижняя дельтаобразному потенциалу $q(x) = \gamma_1 \delta(x + \varepsilon)$, для которого первое приближение даёт точное решение интегрального уравнения.

В качестве первого примера применим преобразование (2) к дельтаобразному потенциалу (8) с двумя узлами:

$$q(x) = \gamma_1 \delta(x - x_1) + \gamma_2 \delta(x - x_2), \quad x_{21} = x_2 - x_1 > 0. \quad (18)$$

Полагая для упрощения формул $x_2 = 0$, находим, что

$$\psi(x, k) = \begin{cases} (1 + \frac{\gamma_1}{2k})e^{kx} - \frac{\gamma_1}{2k}e^{2kx_1}e^{-kx}, & x_1 \leq x \leq 0, \\ a(k)e^{kx} + b(k)e^{-kx}, & x \geq 0 \end{cases} \quad (19)$$

где

$$a(k) = 1 + \frac{\gamma_1}{2k} + \frac{\gamma_2}{2k} + \frac{\gamma_1 \gamma_2}{4k^2} [1 - e^{2kx_1}], \quad -b(k) = e^{2kx_1} \frac{\gamma_1}{2k} + \frac{\gamma_2}{2k} + \frac{\gamma_1 \gamma_2}{2k \cdot 2k} (1 - e^{2kx_1}). \quad (20)$$

Таким образом,

$$D \log \psi(x, k) = \frac{\psi'(x, k)}{\psi(x, k)} = k \frac{(1 + \frac{\gamma_1}{2k})e^{2kx} + \frac{\gamma_1}{2k}e^{2kx_1}}{(1 + \frac{\gamma_1}{2k})e^{2kx} - \frac{\gamma_1}{2k}e^{2kx_1}}, \quad x_1 < x < 0, \quad (21)$$

и скачки этой кусочно-непрерывной функции в узлах дельта-функций равны, соответственно, γ_1 и γ_2 :

$$\frac{\psi'(x, k)}{\psi(x, k)} \Big|_{x=x_1-0}^{x=x_1+0} = \gamma_1, \quad k \frac{a(k) - b(k)}{a(k) + b(k)} = \gamma_2 + D \log \psi(-0, k).$$

Преобразованная функция $\hat{\psi}$ из формулы (2) остаётся при этом непрерывной и удовлетворяет уравнению Шредингера (1) с потенциалом

$$\hat{q}(x) = -\gamma_1 \delta(x - x_1) - \gamma_2 \delta(x) - \left(k_0^2 - \left(\frac{e^{2k_0 x} (2k_0 + \gamma_1) + e^{2k_0 x_1} \gamma_1}{e^{2k_0 x} (2k_0 + \gamma_1) - e^{2k_0 x_1} \gamma_1} \right)^2 \right), \quad x \in [x_1, 0], \quad (22)$$

при любом выборе достаточно большого значения $k_0 > 0$. Однако, для того чтобы преобразованный потенциал остался финитным, нужно выбрать в качестве k_0 максимальный корень $a(k)$ в правой полуплоскости (5). При $N = 2$ длину интервала $[x_1, 0]$ можно фиксировать за счёт масштабирования γ_j и полагая, например, $\gamma_1 = \gamma_2 = -1$, $x_1 = -1$, мы находим единственный вещественный корень $k_0 \approx 0.63923$ у функции $a(k)$ в полуплоскости (5). Потенциал (22) является при таком выборе k_0 финитным, но все коэффициенты γ_j при дельта функциях изменяют знак.

Замечание 1. Включение в теорию преобразований Дарбу дельтаобразных потенциалов существенно расширяет возможности этой теории и приводит к интересной задаче о решениях уравнений

$$f'_j + f'_{j+1} = f_j^2 - f_{j+1}^2 + \lambda_j - \lambda_{j+1}, \quad j \in \mathbb{Z} \quad (23)$$

так называемой одевающей цепочки, допускающих заданные разрывы γ_j первого рода в фиксированных заранее точках x_j . Рассматриваемые далее решения этих уравнений описывают композицию преобразований Дарбу (2) и соответствуют перемножению матриц (24) (см. ниже). Напомним [5], что гладкие, периодические по дискретной переменной j , решения одевающей цепочки описывают конечнозонные потенциалы, включая естественно и потенциалы Баргмана.

Как уже говорилось, при использовании нулей второго коэффициента $b(k)$, для того чтобы потенциал оставался вещественным, используются пары комплексно сопряжённых

нулей и двойное преобразование Дарбу. Рассмотрим суперпозицию преобразований Дарбу вида (2) и соответствующее произведение матриц:

$$F_j := \begin{pmatrix} f_j & -1 \\ \lambda - \lambda_j - f_j^2 & f_j \end{pmatrix}, \quad \det F_j = \lambda - \lambda_j. \quad (24)$$

В случае $F_2 F_1 = \Phi$ находим

$$\Phi = \begin{pmatrix} f_1 g + \lambda_1 - \lambda & -g \\ \lambda g - \lambda_1 f_2 - \lambda_2 f_1 - g f_1 f_2 & f_2 g + \lambda_2 - \lambda \end{pmatrix}, \quad g = f_1 + f_2.$$

Легко видеть, что элементы произвольного произведения $\Phi = (\Phi_{ij})$ матриц (2) удовлетворяют в общем случае следующим уравнениям:

$$\frac{d}{dx} \Phi = \begin{pmatrix} 0 & 1 \\ \hat{q}(x) - \lambda & 0 \end{pmatrix} \Phi - \Phi \begin{pmatrix} 0 & 1 \\ q(x) - \lambda & 0 \end{pmatrix}, \quad \Phi = [\Phi_{ij}] \quad (25)$$

$$\begin{cases} \Phi'_{11} = \Phi_{21} - (q(x) - \lambda)\Phi_{12} \\ \Phi'_{22} = (\hat{q}(x) - \lambda)\Phi_{12} - \Phi_{21} \end{cases}, \quad \begin{cases} \Phi'_{12} = \Phi_{22} - \Phi_{11} \\ \Phi'_{21} = \hat{q}(x)\Phi_{11} - q(x)\Phi_{22} + \lambda(\Phi_{22} - \Phi_{11}) \end{cases}. \quad (26)$$

В рассматриваемом случае двойного преобразования Дарбу мы имеем в силу этих уравнений

$$\Phi_{12} = -g(x), \quad \Phi_{11} = h(x) - \lambda, \quad \Phi_{22} = -g' + \Phi_{11}, \quad \Phi_{21} = h' + g(\lambda - q), \quad \hat{q} = q - 2g', \quad (27)$$

и поэтому

$$\Phi_{11}\Phi_{22} = \lambda^2 - (2h - g')\lambda - g'h + h^2, \quad \Phi_{12}\Phi_{21} = g^2(q - \lambda) - gh'.$$

Так как определитель

$$\det \Phi = \lambda^2 - 2\alpha\lambda + h^2 + gh' - g'h - g^2q = (\lambda - \lambda_1)(\lambda - \lambda_2)$$

не зависит от x мы получаем окончательно

$$\begin{aligned} 2h &= g^2 + g' + \lambda_1 + \lambda_2, & \left(\frac{h}{g}\right)^2 + \left(\frac{h}{g}\right)' &= q(x) + \frac{\lambda_1\lambda_2}{g^2}, & f_1 &= \frac{h}{g} - \frac{\lambda_1}{g} \\ g &= \frac{\lambda_2 - \lambda_1}{f_1 - f}, & \frac{h}{g} &= \frac{f_1\lambda_2 - \lambda_1 f}{\lambda_2 - \lambda_1}, & f' + f^2 &= q(x) - \lambda_2. \end{aligned} \quad (28)$$

Нетрудно проверить, что при $\lambda_2 \neq \lambda_1$ указанные выше формулы для g и g/h и два уравнения Риккати

$$f' + f^2 = q(x) - \lambda_2, \quad f'_1 + f_1^2 = q(x) - \lambda_1 \quad (29)$$

для исходного уравнения Шредингера $L\psi = \lambda\psi$ гарантируют выполнение двух уравнений (28) и наоборот. На языке операторов преобразования из работы [5] это соответствует (см. (1), (2)) формулам

$$\begin{aligned} \hat{L} \circ A &= A \circ L, & A &= D^2 + a_1 D + a_2, & A &= (D - f_2)(D - f_1), \\ (\hat{q} - D^2)A &= A(q - D^2), & A &= D^2 - gD + h - q, & A\psi &= -g\psi' + (h - \lambda)\psi. \end{aligned} \quad (30)$$

Возвращаясь к потенциалу с двумя узлами и формулам (19), (20), приведём пример двойного преобразования Дарбу в случае двух вещественных собственных значений.

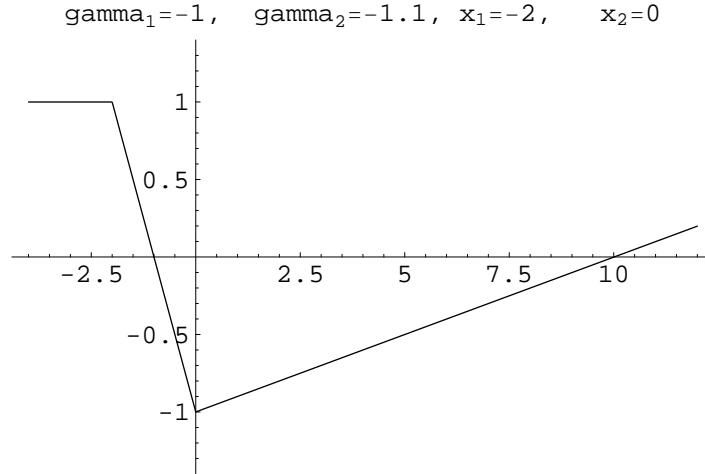


Рис. 2. График $\psi(x)|_{k=0}$.

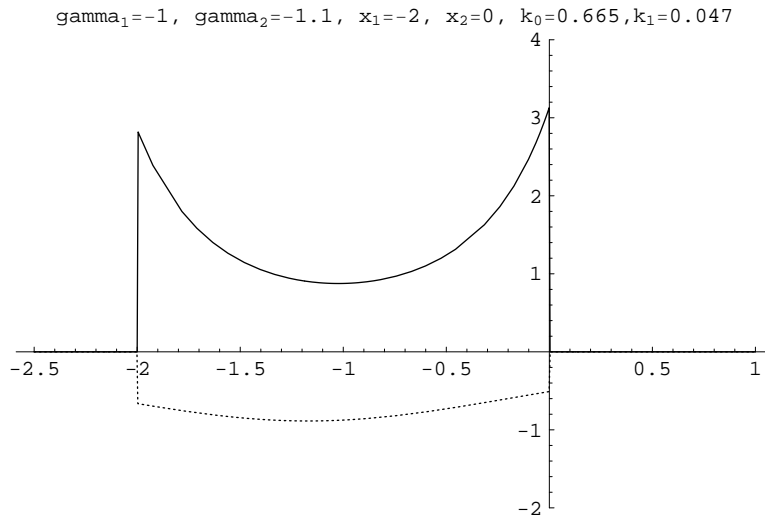


Рис. 3. Графики $\hat{q}(x) + q(x)$ (заштрихованный) и $\hat{q}(x) - q(x)$

Пример 1. При $\gamma_1 = -1$, $\gamma_2 = -1.1$, $x_1 = -2$, график $\psi(x, 0)$, имеет два нуля. Два вещественных нуля функции $a(k)$ находятся численно:

$$a(k) = 0, \quad k_1 \approx 0.665, \quad k_2 \approx 0.047.$$

На рис. 3 представлен график преобразованного потенциала после однократного и двукратного Дарбу.

Покажем, что в случае вырождения ($\lambda_2 = \lambda_1$) двойное Дарбу нарушает финитность потенциала.

Лемма 1. Пусть $\lambda_2 = \lambda_1$, $\Phi_{12} = -g(x)$ и $\Phi_{11} = h(x) - \lambda$. Тогда уравнения (26), (27) эквивалентны при $q(x) = f'_1 + f_1{}^2 + \lambda_1$ следующим соотношениям:

$$g' + g^2 = 2gf_1, \quad h = f_1g + \lambda_1, \quad \hat{q} = q - 2g'. \quad (31)$$

◀ Действительно, из (28) следует, что

$$h = f_1g + \lambda_1, \quad g' + g^2 + \lambda_2 = 2f_1g + \lambda_1, \quad f'_1 + f_1{}^2 + \lambda_1 = q.$$

Полагая здесь $\lambda_2 = \lambda_1$, получаем утверждение леммы. ▶

Заметим в дополнение к Лемме 1, что вспомогательное решение f уравнения Риккати (29) находится при $\lambda_2 = \lambda_1$ методом вариации постоянных:

$$\begin{aligned} f_1 = \frac{\varphi_1'}{\varphi_1}, \quad f = f_1 + u \Rightarrow \left(\frac{1}{u}\right)' = 2f_1 \frac{1}{u} + 1, \quad u = \frac{z'}{z}, \quad z' = \frac{1}{\varphi_1^2}, \\ \varphi = \varphi_1 z \Rightarrow \varphi' = \varphi_1' z + \frac{1}{\varphi_1}, \quad \varphi'' = \varphi_1'' z = (q - \lambda_1)\varphi. \end{aligned} \quad (32)$$

Здесь φ_1 произвольное решение исходного уравнения $\varphi_1'' = (q - \lambda_1)\varphi_1$ и $\varphi = \varphi_1 z$, найденное нами второе решение этого же уравнения. В результате однократного преобразования (2) с $f = f_1$ мы находим:

$$(D - f_1)\varphi_1 = 0, \quad (D - f_1)\varphi = \frac{1}{\varphi_1}, \quad \left(\frac{1}{\varphi_1}\right)'' = (q_1 - \lambda_1)\frac{1}{\varphi_1}, \quad q_1 = q - 2f_1'.$$

Таким образом, $v_1 = -f_1$ является решением нового уравнения Риккати $v' + v^2 = q_1 - \lambda$, и аналогично (32) мы находим дополнительное решение v в виде суммы:

$$v = -f_1 + u, \quad u' + u^2 = 2uf_1 \Rightarrow v + f_1 = \frac{\varphi_1^2}{z}, \quad z' = \varphi_1^2.$$

Это, естественно, приводит к формулам из Леммы 1.

Подводя итоги, сформулируем следующее утверждение:

Для вещественных, финитных потенциалов композиция преобразований Дарбу, соответствующих матрицам (24), позволяет избавиться от нулей целой функции $2ka(k)$ расположенных в правой полуплоскости (5), и конечного числа нулей целой функции $2kb(k)$, не лежащих на вертикальной оси. Во втором случае применяется двойное Дарбу, использующее комплексно сопряжённые решения уравнений Риккати (29) и формулы (28).

Замечание 2. В условиях Леммы 1 функции f_j , $j = 1, 2$ из формул (24) удовлетворяют соотношениям

$$(f_1 + f_2)' = f_1^2 - f_2^2, \quad f_2 = \frac{z'}{z} - \frac{\varphi_1'}{\varphi_1}, \quad z' = \varphi_1^2, \quad f_1 = \frac{\varphi_1'}{\varphi_1}$$

и уравнения (31) позволяют переписать одевающую цепочку из Замечания 1 в терминах z_j

$$g_j = \frac{z_j'}{z_j}, \quad z_j' = \varphi_j^2, \quad q_{j+1} = q_j - 2g_j'.$$

Роль уравнения Риккати играет при этом известное в спектральной теории уравнение третьего порядка с "производной Шварца"

$$q(x) + k^2 = \frac{1}{2} \frac{z_{xxx}}{z_x} - \frac{1}{4} \left(\frac{z_{xx}}{z_x}\right)^2, \quad z_x = \varphi^2. \quad (33)$$

2.1. Нули на мнимой оси. Выясним сначала вопрос о характере поведения целой функции $2kb(k)$ на мнимой оси $k = i\xi$ в зависимости от параметров дельтаобразного потенциала (8). Предполагая $x_N = 0$ и фиксируя равным ε расстояние между соседними узлами, введем для краткости вспомогательные обозначения

$$\hat{\gamma}_j = \frac{\gamma_j}{2k}, \quad e_j = e^{2kx_j}, \quad \bar{e}_j = e^{-2kx_j}, \quad e = e_j \bar{e}_{j+1} = e^{-2k\varepsilon}. \quad (34)$$

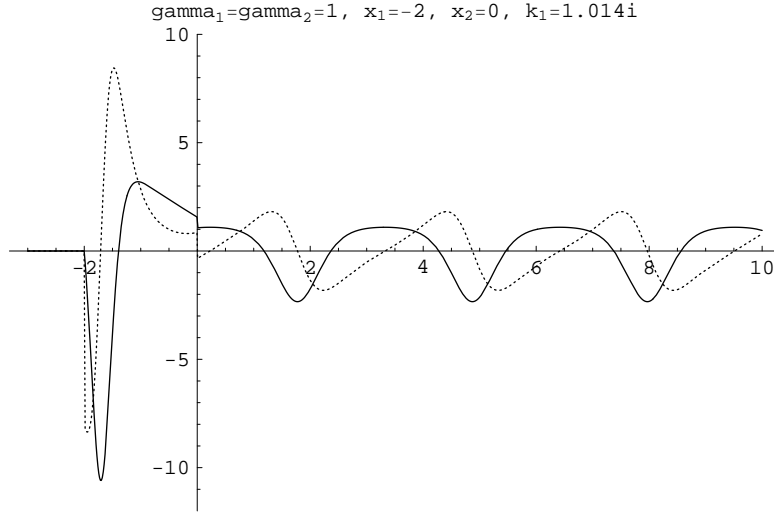


Рис. 4. Графики $Re \hat{q}(x)$ и $Im \hat{q}(x)$ (заштрихованный) при мнимом нуле $b(k)$

Перемножив матрицы рассеяния дельтаобразных потенциалов (см. [2]), мы находим, например при $N = 3$, что:

$$\begin{aligned} -b(k) &= \hat{\gamma}_3(1 + \hat{\gamma}_1)(1 + \hat{\gamma}_2) + e^2 \hat{\gamma}_1(1 - \hat{\gamma}_2)(1 - \hat{\gamma}_3) + e \hat{\gamma}_2(1 + \hat{\gamma}_1)(1 - \hat{\gamma}_3) - e \hat{\gamma}_1 \hat{\gamma}_2 \hat{\gamma}_3, \\ e_1 b(-k) &= \hat{\gamma}_1(1 + \hat{\gamma}_2)(1 + \hat{\gamma}_3) + e^2 \hat{\gamma}_3(1 - \hat{\gamma}_1)(1 - \hat{\gamma}_2) + e \hat{\gamma}_2(1 - \hat{\gamma}_1)(1 + \hat{\gamma}_3) - e \hat{\gamma}_1 \hat{\gamma}_2 \hat{\gamma}_3. \end{aligned}$$

Так как $\bar{b}(k) = b(-k)$ на мнимой оси, то условие $\gamma_1 = \gamma_3$ гарантирует, что $b(i\xi) = 0 \Leftrightarrow \bar{b}(i\xi) = 0$, и что $e_1 b(-k) = -\bar{e}_N b(k)$. Очевидно (см. (13)), что последнее условие выполняется для всех чётных с точностью до сдвига дельтаобразных потенциалов (8), и что для таких потенциалов задача о нулях целой функции $2kb(k)$ на мнимой оси сводится к задаче о нулях тригонометрических квазимногочленов с вещественными коэффициентами. Задача о структуре множества нулей таких квазимногочленов исследовалась численно в работе [3]. В приведённом ниже примере эти нули образуют целочисленную решётку с точностью до выбора ε в формуле (34).

Пример 2. При $N = 2$, корни $b(k)$ определяются, в силу (20), следующим простым уравнением

$$e^{2kx_1} = \frac{1 + 2k/\gamma_1}{1 - 2k/\gamma_2} \Rightarrow e^{2kx_1} = 1, \quad \text{если } \gamma_1 + \gamma_2 = 0. \quad (35)$$

При $\gamma_1 + \gamma_2 = 0$ корни уравнения $e^{2kx_1} = 1$ образуют регулярную решётку на мнимой оси и

$$\frac{b(k)}{a(k)} = (1 + \beta_1 k) \frac{\exp 2kx_1 - 1}{\beta_1^2 k^2 + \exp 2kx_1 - 1}, \quad \beta_1 = \frac{2}{\gamma_1}, \quad k = i\xi.$$

Преобразование Фурье этой функции на мнимой оси и соответствующее решение интегрального уравнения (17) (ср. [4]) приводит по-видимому к дельтаобразному потенциалу с двумя узлами в точках x_1 и $x_2 = 0$.

Как уже отмечалось в конце §1, преобразования Дарбу, связанные с парой (15), расположенных на мнимой оси нулей целой функции $2kb(k)$, выводит за рамки класса вещественных финитных потенциалов и приводит к потенциалам с носителем на полуоси, аналогичным, показанному на рис. 4. Этот график описывает применение Леммы 1 в рассматриваемом случае (35). Вид преобразованного потенциала $\hat{q} = q - 2g'$ находится при помощи функции $g(x)$, которая определяется как решение задачи Коши для системы дифференциальных уравнений первого порядка (см. Лемму 1):

$$g' + g^2 = 2f_1 g, \quad f_1' + f_1^2 + \lambda_1 = q, \quad g(x_1) = 2k_1, \quad f_1(x_1) = k_1, \quad \lambda_1 = -k_1^2.$$

Для уточнения деталей привлекается функция

$$\varphi_1(x) = \begin{cases} e^{kx} + \frac{\gamma_1}{k} \operatorname{sh}(kx), & x_1 \leq x \leq 0 \\ a(k)e^{kx}, & x > 0, \quad k \equiv k_1, \quad b(k_1) = 0. \end{cases}$$

Легко видеть, что $\hat{q}(x) = 0$ при $x < x_1$ и что при $x > x_1$ всё можно выразить в терминах этой функции φ_1 (см. Замечание 2).

2.2. Благодарности. За интерес к работе и полезные замечания благодарим В.Э. Адлера и Р.Ч. Кулаева.

СПИСОК ЛИТЕРАТУРЫ

1. Шабат А.Б. *Обратная спектральная задача для дельтаобразных потенциалов* // Письма ЖЭТФ. 2015. Т. 102, № 9. С. 705–708.
2. Шабат А.Б. *Теория рассеяния для дельтаобразных потенциалов* // Теор. Мат. Физ. 2015. **183**(1). С. 105–119.
3. Бадахов М.Ш., Веремеенко О.Ю., Шабат А.Б. *Об асимптотике обобщенных собственных значений оператора Шредингера* // Владикавк. мат. журн. 2014. **16**(4). С. 34–40.
4. Evg. Korotyaev *Inverse scattering on the real line* // Inverse Problems. 2005. **21**. С. 325–341.
5. Веселов А.П., Шабат А.Б. *Одевающая цепочка и спектральная теория оператора Шредингера* // Функц. Анализ и его прилож. 1993. **27**(2). С. 1–21.
6. V.Bargman *Remarks on the determination of a central field of force from the elastic scattering phase shifts* // Phys. Rev. 75, № 2. 1949. P. 301–303.

Мухтар Шамильевич Бадахов,
КЧГУ им. У. Д. Алиева,
ул. Ленина, 23,
369200, г. Карачаевск, Россия
Институт математики с ВЦ УНЦ РАН,
ул. Чернышевского, 112,
450077, г. Уфа, Россия
E-mail: badahov92@mail.ru

Алексей Борисович Шабат,
ИТФ РАН им. Л. Д. Ландау,
просп. Академика Семенова, д. 1-А
142432, г. Черноголовка, Россия
КЧГУ им. У. Д. Алиева,
ул. Ленина, 23,
369200, г. Карачаевск, Россия
Институт математики с ВЦ УНЦ РАН,
ул. Чернышевского, 112,
450077, г. Уфа, Россия
E-mail: shabatab@mail.ru